

断裂力学讲义

吴恒立 编

重庆交通学院
材料力学教研室

一九八二年十二月

前言

这本讲义的内容大致如下：第一章介绍断裂力学的任务以及与传统强度设计的关系，并简要介绍了国内外动态。第二章将依应力脆断应用计论讲论，侧重物理和力学概念，达到能初步应用的目的。第三章介绍计论应力强度因子的主要的解析法和能量法，侧重于力学和数学推导。第四章除金属材料疲劳断裂外，主要对路为材料（沥青混凝土）的疲劳断裂进行分析，并阐明其机理。因鉴于材料科学将迅速发展，深感工程技术人员亦应有必要的知识，故第五章以讲论断裂机理而简要的阐述介绍了一些材料科学基础知识。

讲义先稿密以四年报选修课记笔记的方式在重庆建筑工程学院公路工程专业和桥梁与隧道专业1977级和1978级两届各用60学时讲过两遍。油印后又曾在重庆交通学院1979级上述两专业用40学时讲授。读者又要有较好的材料力学知识和通常的弹性力学知识即可谈性，因最后要求达到一定的深度，故有必要的深的教学、力学知识，均注意结合问题的需要有机地进行阐述。今后如有机会，尚拟增加弹塑性断裂力学分析的工程方法和材料断裂韧性测试等方面内容。

编写这本讲义的主要参考资料如下，特此感谢：

- (1) 钱弹性断裂力学，西安交通大学，1979。
- (2) 李淑，断裂理论，重庆交通学院翻印，1980。
- (3) D. Broek, 工程断裂力学基础，科学出版社，1980。
- (4) 褚武物，断裂力学基础，科学出版社，1979。
- (5) 周纪美，金属的韧性与脆化，上海科学技术出版社，1980。
- (6) 范天佑，断裂力学基础，江苏科学技术出版社，1978。
- (7) 材料学基础，机械工业出版社，1978。
- (8) 晶体缺陷和金属强度，科学出版社，1962。
- (9) Kamran Majidzadeh, E. M. Kauffmann, D. V.

Ramsamooj, A. T. Chan, Analysis of Fatigue and Fracture of Bituminous Paving Mixtures, The Ohio State University Research Foundation, 1971. 中译本见公路技术资料(12), 人民交通出版社, 1980。

(10) Y. M. Salam and C. L. Monismith, 沥青混凝土内破裂特性, A. A. P. T. Vol. 41, 1972. 中译本见公路技术资料(11), 人民交通出版社, 1980。

(11) Terrence V Duggan and James Byrne, Fatigue As A Design Criterion, 1977。

(12) Richard W. Hertzberg and John A. Manson, Fatigue of Engineering Plastics, 1980。

因限于自己的水平, 讲文中不当和错误之处难免, 希望多加批评指正。

吴恒立

1982年10月

目 录

第一章 绪论	1
§ 1-1 断裂力学的产生及其任务	1
§ 1-2 断裂力学和材料力学的关系	2
§ 1-3 断裂力学在我国的情况	3
§ 1-4 国内外断裂力学的发展动向	4
第二章 线弹性断裂力学的理论和断裂判据	5
§ 2-1 断裂力学中分析的变形状态	5
§ 2-2 裂纹尖端应力场和位移场的类型	10
§ 2-3 应力强度因子	13
§ 2-4 断裂韧性, 线弹性断裂力学的断裂判据	17
§ 2-5 断裂判据在脆断问题中的应用	18
§ 2-6 裂纹尖端有限塑性区的修正	24
2-6-1 塑性区的形状和大小	25
2-6-2 应力松弛对塑性区宽度的影响	28
2-6-3 裂纹长度和应力强度因子 K_I 的修正	32
2-6-4 例题	39
§ 2-7 线弹性断裂力学的复合型断裂判据	41
2-7-1 研究复合型断裂判据的意义	41
2-7-2 应力敏感密度因子理论	43
2-7-3 工程上实用的复合型断裂判据	50
2-7-4 例题	53
第三章 应力强度因子的计算	57
§ 3-1 复变函数的基本知识	57
§ 3-2 用 H. M. Westergaard 型应力函数求应力强度因子	64
3-2-1 I型裂纹问题的 w 代应力函数及 K_I	

	的计录	65
3-2-2	II型裂纹问题的W氏应力函数 及 K_{II} 的计录。	81
3-2-3	III型裂纹问题的W氏应力函数 及 K_{III} 的计录。	84
§ 3-3	用普遍形式的复变应力函数求解 应力强度因子 (H. N. Muskhelishvili — швилян法)	90
3-3-1	复变应力函数的普遍形式	90
3-3-2	I、II型复合裂纹问题的应力 强度因子表达式	93
3-3-3	计录实例	97
§ 3-4	用边界配置法求解应力强度因子 简介	105
§ 3-5	用应力能释放率法 (Griffith 理论) 计录应力强度因子	107
§ 3-6	疲劳符号记号	119
§ 3-7	用丁积分法计录应力强度因子	125
3-7-1	丁积分的定义	125
3-7-2	证明了积分在体积力为零 时具有守恒性	127
3-7-3	丁积分与应力强度因子 K_I 的关系	132
3-7-4	讨论	134

第四章	交变载荷下材料的疲劳和断裂	136
§ 4-1	概述	136
§ 4-2	疲劳寿命和疲劳裂纹扩展规律	140
4-2-1	疲劳寿命的组成	140
4-2-2	亚临界扩展速率公式 — Paris 公式	142
4-2-3	疲劳寿命的计录	143

4-2-4	例题	145
§4-3	裂纹扩展规律的进一步研究	146
§4-4	裂纹对材料弹性常数影响	151
§4-5	裂纹对构件强度的影响	155
§4-6	沥青混合料梁试件的疲劳裂纹扩展分析	156

第五章	材料学基础知识和断裂机理简介	173
§5-1	晶体结构	173
5-1-1	金属的晶体结构	173
5-1-2	晶面指数和晶向指数	175
§5-2	晶体缺陷	181
5-2-1	点缺陷	181
5-2-2	位错	185
5-2-3	堆垛层错	188
5-2-4	晶界	190
§5-3	有机聚合物及其结构	192
§5-4	材料的变形和再结晶	196
5-4-1	材料的弹性变形	196
5-4-2	材料的塑性变形	199
5-4-3	回复、再结晶及晶粒长大	209
5-4-4	超塑性	212
§5-5	材料的强化	213
5-5-1	材料的理论强度和强化	213
5-5-2	纤维增强体的复合强化	215
5-5-3	材料的强化	217
§5-6	研究断裂机理的意义	218
§5-7	解理断裂	218
§5-8	韧性断裂	223

第一章 绪论

§1-1 断裂力学的产生及其任务

强度设计的传统概念是按强度条件校核，即：

$$\text{构件的工作应力 } \sigma \text{ 或 } \text{强度理论的相当应力 } \sigma^* \leq \text{材料单向拉伸时的许用应力 } [\sigma]_{拉}$$

—— $\frac{\text{材料的危险应力 } \sigma^0}{\text{安全系数 } n}$ 满足此条件时强度安全，否则危

险。式中：

- σ^* —— 设计时假定构件材料是均匀连续的，无空隙和裂纹，即材料不存在缺陷；
- σ^0 —— 由实验确定，塑性材料为屈服极限 σ_s ，脆性材料为强度极限 σ_b ，交变载荷时为材料的持久极限 σ_r ；注
- n —— 难以控制的因素（如设计不完善，材料不均匀，载荷不连续等）均在安全系数时考虑。

随着工业的发展，高强度材料的使用，发现传统的强度校核方法有一定的弱点。例如，五十年代美国北卡罗来纳州体用 1060 号低碳钢制成，其屈服极限 $\sigma_s = 160 \text{ kg} / \text{m.m}^2$ ，发射时发生了爆炸事故，而估计其破坏应力仅 $70 \text{ kg} / \text{m.m}^2$ ，不及 σ_s 值的一半。这是一种低应力脆性断裂（高线脆断），无法用传统的强度设计给予满意的解释。

对高应力脆断事故的分析发现：宏观裂纹源（长度为 $0.1 \text{ mm} \sim 1.0 \text{ mm}$ 的裂纹）的存在，是脆断的主要原因。

事实上，构件通过锻造、焊接、淬火、冷加工等造成了上述宏观尺寸的裂纹。即使没有上述裂纹，材料的微观缺陷（如气孔、夹杂、偏析等）也会在载荷（特别是交变载荷、腐蚀介质）

注：材料的持久极限 σ_r ，与应力循环特征 $\gamma = \frac{\sigma_{min}}{\sigma_{max}}$ 一定时，试件经无穷次循环（通常取循环次数 $N = 10^7$ ）后，不发生破坏的极限 σ_{max} 值。

其影响不，或形成上述的裂纹。而这种宏观裂纹的扩展引起脆断。因此，形成了一门新的力学分支——断裂力学，它的主要任务是：

- (1) 研究带初始裂纹的构件发生低应力脆断的规律性；
- (2) 提供防止这种低应力脆断的预防措施。

低应力脆断现象的基本成因，首先由Griffith在1920年作了解释。但是，受到重视是在第一次世界大战和五十年代发生的大多数事故以后。在第一次世界大战期间建造的2500艘自由轮中，145艘断成两截，近700艘发生严重破坏。许多桥梁和其他设施也发生了同样的灾难性事故，这是随着当时全焊接设计的引进以及随后高强度材料的大量使用，所出现的新的结构破坏问题。

总之，断裂力学的产生和发展，和一切科学一样，是由社会生产力的发展和科学技术的发展决定的。

断裂力学产生和发展的条件，是高强度材料的大量使用。

3.1-2 断裂力学和材料力学的关系

断裂力学，就其研究对象，可分为线弹性断裂力学和弹塑性断裂力学两类。

前者较为成熟，也是后者的基础，且在说明“用断裂力学解决强度问题”的方法上更具有代表性。因此，主要讲前者，但也适当兼顾后者。

线弹性断裂力学，假定材料直到断裂为止，应力—应变关系一直是服从虎克定律的。因此，材料力学和弹性力学的知识是它的基础。从力学模型上看，只是弹性体上多了一条（或几条）裂纹，在裂纹处要考虑材料连续性的破坏，而这种破坏可作构件的新旧边界（多连通边界）来处理。

断裂力学的方法只能作为传统强度设计方法（材料力学方法）的发展，它不可能也没有完全代替和全面否定传统的方法。这是因为：

- 1) 虽然材料中不可避免地存在缺陷甚至裂纹，但并不一定都发生低应力脆断，这与材料性质及应力状态有关。对于并非

因裂纹扩展不脆断的构件，仍多用传统方法分析，特别对某些塑性破坏的问题是如此。

2) 断裂力学作为一门科学还很年轻，本身尚待完善。对于断裂力学目前尚未解决的疑难问题，仍可将宏观裂纹因素包括在安全系数中，用传统方法分析强度。

目前，材料力学方法仍是结构设计规范的可靠基础。只在高强度材料有可能低于容许应力脆断时，才要用断裂力学方法作附加计算，可见它只是作为传统方法的补充，使强度设计问题考虑得更全面一些。

1 — 3 断裂力学在我国的情况

1970年左右开始引入。

1974年10月在北京召开第一次全国断裂力学交流会，这次会议对促进我国断裂力学的研究工作和普及工作，起了积极的作用。1976年在北京召开了第二次交流会。以后就多次进行过国内和国际间的交流活动了。

目前，在实用方面也取得了不少成果。如上海锅炉厂1972年前生产的五台内径为 1010mm 的氨合成塔的塔体使用问题，节约钢材300吨，人民币300万元。姚孟电厂汽轮机发电机的使用问题，节约资金50万元。铁道科学研究院通过大量实验研究，拟定的关于前出型蒸汽机车轮辐向裂纹的新标准问题，以前一有横向裂纹就判废，现在则允许出厂时将不大于 3mm 的裂纹存在。

在理论方面也取得不少成就。如应力强度因子的计算方法及计算结果，复合型断裂判据和脆塑性断裂判据的研究，裂纹在亚临界扩展期的扩展规律以及动态断裂力学问题的研究等。

目前，断裂力学在我国已向各个工程领域渗透，如向路面、土壤、岩石等领域渗透。

目前，断裂力学除向宏观方向继续发展外，要从微观和细观机理方面研究。因此要牵涉到断裂物理和断裂化学等方面，即要涉及材料科学的研究。

目前对于薄壁构件中裂纹的应力强度因子尚未解决，属于空间断裂力学问题。有一些同志正在进行研究。

§ 1 — 4 国内外断裂力学的发展动向

下面只是粗略地提出一些方向。

(1) 由线弹性断裂力学 (即脆性材料的断裂力学, 比较成熟) 深入到弹塑性断裂力学。首先要从金属角度研究裂纹传播机理, 还要在解决本构方程 (即应力-应变关系) 与研究有关的断裂准则 (即判据)。

(2) 微观断裂力学, 微观与宏观结合起来研究裂纹形成的机理, 首先要用位错理论进行研究, 与固体物理、金属物理学学科有关。

(3) 由静态断裂力学进入动态断裂力学, 即断裂动力学。它研究冲击、振动条件下裂纹扩展有关的裂纹扩展规律。

(4) 由金属材料发展到非金属材料特别是复合材料断裂力学。常见的复合材料由高分子化合物和纤维组成, 如玻璃钢是将玻璃纤维放入环氧树脂中, 以后者为基体的材料。玻璃纤维还可以用碳纤维、石墨纤维、碳纤维等。还可以用粒状材料加入基体, 以形成复合材料。

(5) 常温断裂力学发展到高温断裂力学和低温断裂力学。

(6) 用统计力学观点研究断裂力学。

(7) 用实验方法 (如光弹性观测) 研究应力强度因子, 特别是三维问题的应力强度因子。

第二章 线弹性断裂力学 的理论 and 断裂判据

§ 2-1 断裂力学中分析的变形状态

弹性力学问题一般都是空间问题，点的应力状态有六个独立的应力分量（图 2-1）。即正应力 σ_x 、 σ_y 和 σ_z 以及剪应力 $\tau_{xy} = \tau_{yx}$ 、 $\tau_{yz} = \tau_{zy}$ 和 $\tau_{zx} = \tau_{xz}$ 。脚标互换时 τ 相同是由剪应力互等定律决定的，其中第一脚标表示应力作用面的法线方向，而第二脚标则表示应力本身的方向。我们规定，应

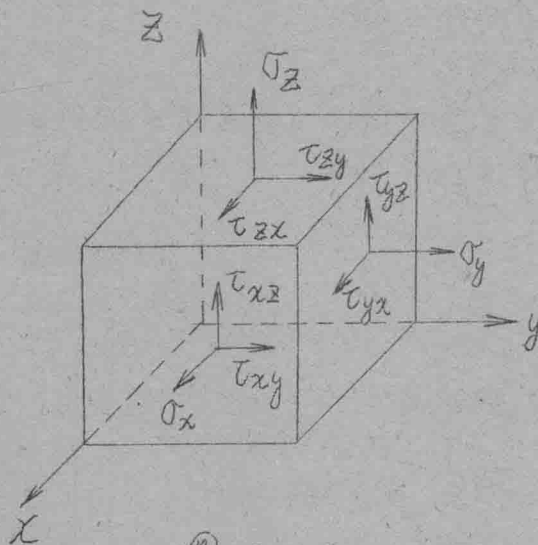


图 2-1

力的方向以图 2-1 所示者为正。

弹性体的应力-应变关系由于广义虎克定律联系，即：

$$\left. \begin{aligned} \epsilon_x &= \frac{1}{E} [\sigma_x - \mu(\sigma_y + \sigma_z)] \\ \epsilon_y &= \frac{1}{E} [\sigma_y - \mu(\sigma_z + \sigma_x)] \end{aligned} \right\}$$

$$\begin{aligned} \epsilon_x &= \frac{1}{E} [\sigma_x - \nu(\sigma_y + \sigma_z)] \\ \tau_{xy} &= \frac{1}{G} \tau_{xy} \\ \tau_{yz} &= \frac{1}{G} \tau_{yz} \\ \tau_{zx} &= \frac{1}{G} \tau_{zx} \end{aligned} \quad \left. \vphantom{\begin{aligned} \epsilon_x \\ \tau_{xy} \\ \tau_{yz} \\ \tau_{zx} \end{aligned}} \right\} (2-1)$$

式中 ϵ 和 γ 是线应变和角应变， E 是材料的泊松比， G 则是材料的切变模量。

工程中常碰到平面问题，即只需要考虑平行于某一平面的应力或应变问题。前者称为平面应力问题，后者称为平面应变问题，下面对它们作进一步的阐述。

1) 平面应力问题

图2-2所示各层薄板，受平行于板面且沿厚度均匀的力作用，是典型的平面应力问题。

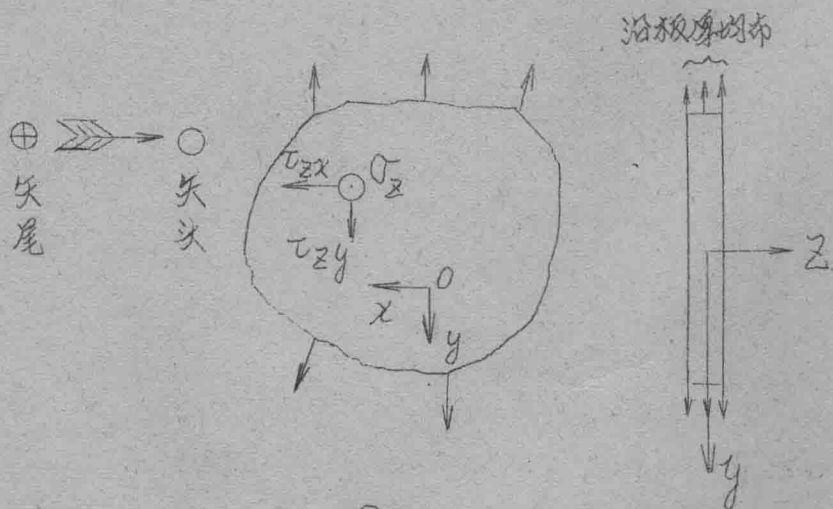


图 2-2

因板表面不受力，且载荷沿厚度不变化，故可以认为应力沿板厚不变化。因此

$$\tau_{21} = \tau_{12} = 0, \quad \tau_{2y} = \tau_{yx} = 0,$$

只有三个应力分量存在，即

$$\sigma_x \text{ 和 } \sigma_y \text{ 以及 } \tau_{xy} = \tau_{yx}.$$

平面应力问题的应力 σ 和 τ 只是平面坐标 x 、 y 的函数，与坐标 z 无关。

代入广义虎克定律，得平面应力问题的应力-应变关系为：

$$\left. \begin{aligned} \epsilon_x &= \frac{1}{E} (\sigma_x - \mu \sigma_y), \\ \epsilon_y &= \frac{1}{E} (\sigma_y - \mu \sigma_x), \\ \epsilon_z &= -\frac{\mu}{E} (\sigma_x + \sigma_y) = 0, \\ \gamma_{xy} &= \frac{1}{G} \tau_{xy}. \end{aligned} \right\} (2-2)$$

或解出 σ_x 和 σ_y ：

$$\left. \begin{aligned} \sigma_x &= \frac{E}{1-\mu^2} (\epsilon_x + \mu \epsilon_y), \\ \sigma_y &= \frac{E}{1-\mu^2} (\epsilon_y + \mu \epsilon_x). \end{aligned} \right\} (2-3)$$

值得注意，平面应力问题是三维应变问题，因 $\epsilon_z = 0$ 之故。
 (一) 平面应变问题

横截面为矩形（即等截面杆）沿长度方向（设为 z 轴）尺寸很大且外力沿长度（ z 轴）不变时即此情况，如长的挡土墙、涵洞、水坝等坝身。

平面应变问题（图 2-3），因远离两端的任一截面都可看作是对称截面，变形只能在截面内发生，不能沿 z 轴方向发生，故 z 轴方向的线应变 $\epsilon_z = 0$ 。

$$\text{因 } \epsilon_z = \frac{1}{E} [\sigma_z - \mu(\sigma_x + \sigma_y)] = 0 \quad \text{即}$$

$$\sigma_z = \mu(\sigma_x + \sigma_y)$$

代入广义虎克定律得：

$$\begin{aligned} \varepsilon_x &= \frac{1}{E} [\sigma_x - \mu \sigma_y - \mu^2 (\sigma_x + \sigma_y)] = \\ &= \frac{1-\mu^2}{E} \left(\sigma_x - \frac{\mu}{1-\mu} \sigma_y \right), \\ \text{同理: } \varepsilon_y &= \frac{1-\mu^2}{E} \left(\sigma_y - \frac{\mu}{1-\mu} \sigma_x \right). \end{aligned} \quad (2-4)$$

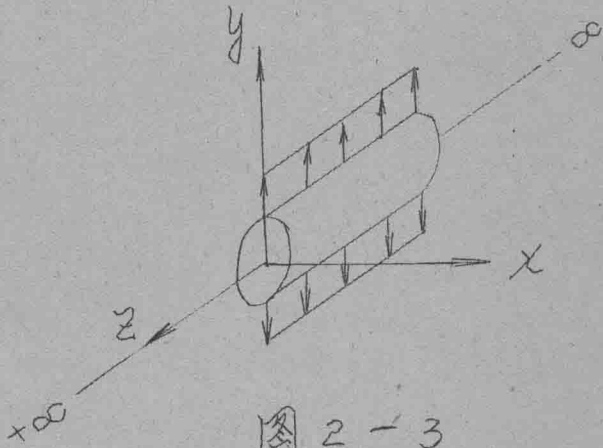


图 2-3

可见，只要将平面应力问题中的 E 换为 $E' = E / (1-\mu^2)$ ， μ 换为 $\mu' = \mu / (1-\mu)$ 即为平面应变问题中的相应公式。将此公式 (2-3) 中进行代换，即可得平面应变问题的由应变求应力的公式：

$$\begin{aligned} \sigma_x &= \frac{E'}{1-\mu'^2} (\varepsilon_x + \mu' \varepsilon_y) = \\ &= \frac{E}{(1-\mu^2)(1-\frac{\mu^2}{(1-\mu)^2})} \left(\varepsilon_x + \frac{\mu}{1-\mu} \varepsilon_y \right) = \\ &= \frac{(1-\mu)E}{(1+\mu)(1-2\mu)} \left(\varepsilon_x + \frac{\mu}{1-\mu} \varepsilon_y \right), \\ \sigma_y &= \frac{E'}{1-\mu'^2} (\varepsilon_y + \mu' \varepsilon_x) = \\ &= \frac{(1-\mu)E}{(1+\mu)(1-2\mu)} \left(\varepsilon_y + \frac{\mu}{1-\mu} \varepsilon_x \right), \end{aligned} \quad (2-5)$$

$$\sigma_z = \mu(\sigma_x + \sigma_y).$$

值得指出，平力应变问题是三向应力问题。

为了今后的需要，下面介绍一个带裂纹物体受力的平力问题的概况。

(1) 在薄的带裂纹体中（带裂纹的薄板），在远处拉力增加时，裂纹尖端因应力集中而产生屈服区（亦称塑性区），图2-4。

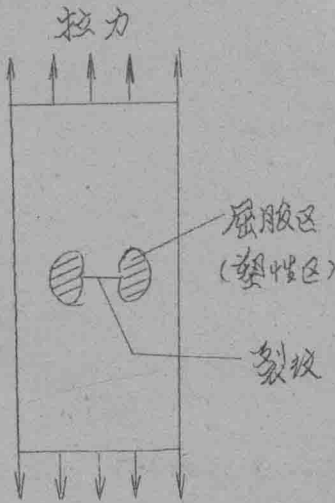


图 2-4

薄板沿板厚方向（z方向）的变形不受约束，即 $\epsilon_z = 0$ 。此时，裂纹尖端是 $\epsilon_z = 0$ 的平力应力状态，容易发生塑性变形（塑性区大）而不容易发生脆性破坏，得到典型的滑移型断口（剪切破坏），即先在裂纹尖端附近有很大的塑性变形，然后裂纹开始扩展直至完全断裂。

(2) 在厚的带裂纹体中（厚板或厚度较大的构件），为自由表面附近因厚度影响使变形受到约束（ $\epsilon_z = 0$ ），裂纹尖端对于三向拉伸应力状态（ σ_x 和 σ_y 大时， $\sigma_z = \mu\sigma_x + \mu\sigma_y$ 亦大时），此时也容易发生塑性变形（塑性区小），容易发生脆性破坏，得到典型的脆性断口，即没有显著塑性变形的断裂。

在自由表面附近， $\epsilon_z \neq 0$ ，接近平力应力状态容易塑性破坏，故此处会有滑移型断口（剪切型）。

但厚板为裂纹体，常忽略自由表面附近的局部变形，而将其视为平力应变问题。

(3) 构件的厚度影响破坏型式，成为断裂的控制因素，即是否容易脆断与板的厚度有关。对于给定材料，构件厚度不同，对塑性区的约束就不同。可以是平力应力问题（易于塑性破坏），平力应变问题（三向拉伸易于脆性破坏），也可以说是二者的混合

问题。图 2-5 所示即为裂纹前端沿板的厚度塑性区的变化情况，中间是平面应力问题（塑性区小），两边是平面应力问题（塑性区大）。

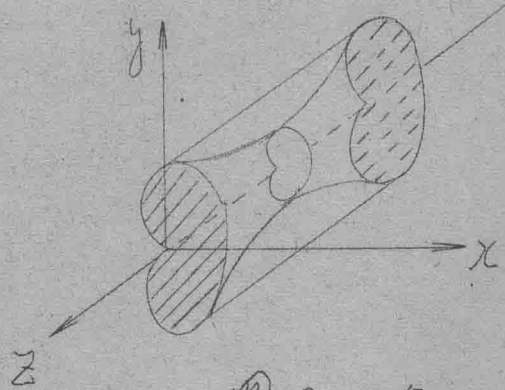


图 2-5

§ 2-2 裂纹尖端应力场和位移场的类型

裂纹尖端是裂纹可能扩展处，必需知道该处的应力场和位移场。场——是场的，有分布范围和分布规律的意思。某一物理量在空间（二维和三维均可）的分布，就称为“场”。

对于有穿透裂纹的构件，裂纹扩展有三种基本类型（根据应力方向与裂纹扩展方向的关系划分）：

(1) I 型（张开型）裂纹扩展

裂纹在垂直于裂纹面的拉应力作用下扩展，如图 2-6.a 所示。

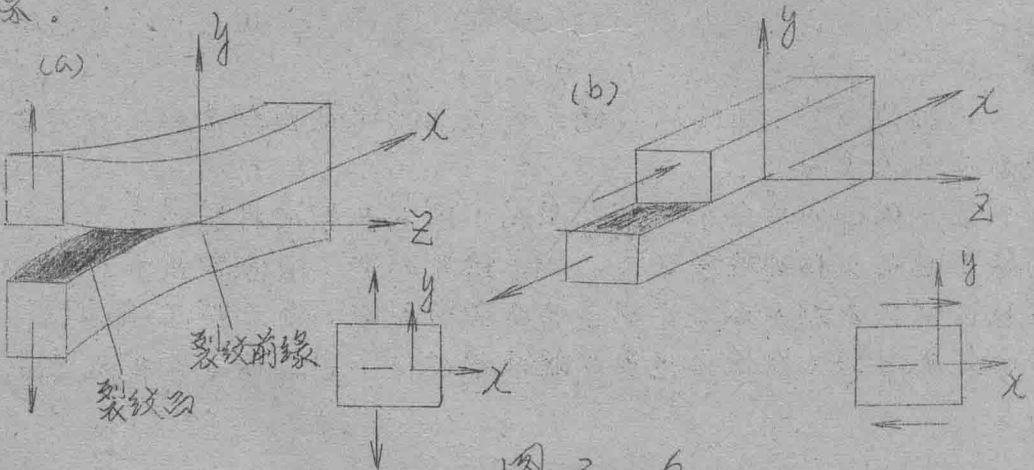
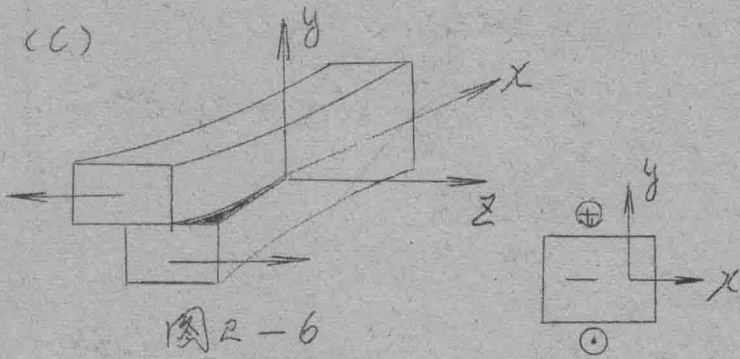


图 2-6



(2) II型 (滑移型或面内剪切型) 裂纹扩展

剪应力平行于裂纹面但垂直于裂纹前缘, 如图 2-6, b 所示。

(3) III型 (撕裂型或面外剪切型) 裂纹扩展。

剪应力平行于裂纹面且平行于裂纹前缘, 如图 2-6, c 所示。

答。

对应于 I、II、III 型裂纹的应力场和位移场的公式为 (用弹性力学方法推导, 详见参考文献)。

I 型裂纹

$$\sigma_x = \frac{K_I}{\sqrt{2\pi r}} \cos \frac{\theta}{2} \left(1 - \sin \frac{\theta}{2} \sin \frac{3\theta}{2} \right);$$

$$\sigma_y = \frac{K_I}{\sqrt{2\pi r}} \cos \frac{\theta}{2} \left(1 + \sin \frac{\theta}{2} \sin \frac{3\theta}{2} \right);$$

$$\tau_{xy} = \frac{K_I}{\sqrt{2\pi r}} \sin \frac{\theta}{2} \cos \frac{\theta}{2} \cos \frac{3\theta}{2};$$

$$\sigma_z = \mu(\sigma_x + \sigma_y), \quad \tau_{xz} = \tau_{yz} = 0$$

(平面应变状态)

$$\sigma_z = 0, \quad \tau_{xz} = \tau_{yz} = 0$$

(平面应力状态)

$$u = \frac{K_I}{4G} \sqrt{\frac{r}{2\pi}} \left[(2k-1) \cos \frac{\theta}{2} - \cos \frac{3\theta}{2} \right];$$

$$v = \frac{K_I}{4G} \sqrt{\frac{r}{2\pi}} \left[(2k+1) \sin \frac{\theta}{2} - \sin \frac{3\theta}{2} \right];$$

(2-6)